

تأثیر محافظتی کروسین بر عملکرد کلیه در نفروپاتی ناشی از هیپرگلایسمی مزمن کنترل نشده در موش صحرایی

حبيب یاری بیگی^۱، دکتر محمد تقی محمدی^۲

Mohammadi.mohammadt@yahoo.com

دریافت: ۹۴/۱۰/۹ پذیرش: ۹۵/۶/۱

چکیده

زمینه و هدف: طبق مطالعات قبلی، التهاب و استرس اکسیداتیو نقش بسیار مهمی در پاتوفیزیولوژی نفروپاتی دیابتی دارد. هدف از این مطالعه بررسی اثرات محافظتی کروسین به عنوان یک ضدالتهاب و آنتیاکسیدان قوی، بر عملکرد کلیه و استرس اکسیداتیو در مدل تجربی نفروپاتی دیابتی بود.

روشن بررسی: در این مطالعه تجربی موش‌های صحرایی نر نژاد ویستار (۱۹۰ تا ۲۲۰ گرم) به طور تصادفی به چهار گروه تقسیم شدند ($n=6$) هر گروه: نرمال، نرمال درمان شده، دیابتی، دیابتی درمان شده. موش‌ها با تزریق داخل وریدی استریتووزوتوسین ۴۰ میلی‌گرم بر کیلوگرم دیابتی شدند. حیوانات درمان شونده کروسین را با دوز ۴۰ میلی‌گرم بر کیلوگرم به صورت داخل صفاقی به مدت هشت هفته دریافت کردند. در پایان مطالعه، نمونه‌های خونی جهت ارزیابی میزان گلوكز و کراتینین سرم جمع‌آوری شدند. همچنین میزان مالوندی‌آلدهید (MDA) و نیترات کلیه نیز سنجیده شد.

یافته‌ها: هیپرگلایسمی مزمن (گلوكز خون بیشتر از ۴۰۰ میلی‌گرم در صد میلی‌لیتر) باعث افزایش معنی دار کراتینین حیوانات دیابتی ($4/51\pm 0/45$ میلی‌گرم بر دسی‌لیتر) در مقایسه با گروه نرمال ($72\pm 0/09$ میلی‌گرم بر دسی‌لیتر) گردید ($P < 0.0001$). همچنین هیپرگلایسمی منجر به کاهش مقدار نیترات ($37\pm 0/09$ درصد) به همراه افزایش تولید مالوندی‌آلدهید ($13\pm 0/10$ میکروگرم بر میلی‌گرم پروتئین) نسبت به گروه نرمال ($10/22\pm 0/054$ میلی‌گرم بر دسی‌لیتر) گردید. کروسین به طور معنی داری سبب کاهش میزان کراتینین سرم ($1/12\pm 0/13$ میلی‌گرم بر دسی‌لیتر)، ($P < 0.0001$)، به همراه گلوكز سرم ($9\pm 0/09$ درصد) در حیوانات دیابتی شد. در نهایت مقدار مالوندی‌آلدهید به طور معنی داری تا $29\pm 0/29$ درصد در موش‌های دیابتی درمان شده در مقایسه با حیوانات درمان نشده کاهش یافت ($P < 0.0001$).

نتیجه‌گیری: بر اساس یافته‌های این مطالعه، به نظر می‌رسد کروسین از طریق مهار استرس اکسیداتیو و کاهش اکسیداسیون لیپید‌ها در جلوگیری از نفروپاتی دیابتی نقش دارد.

واژگان کلیدی: دیابت شیرین، کروسین، نفروپاتی دیابتی، استرس اکسیداتیو، هیپرگلایسمی

مقدمه

جمعیت جهان به دیابت مبتلا شوند (۱). این بیماری مزمن دارای عوارض متابولیک و قلبی عروقی فراوانی است که از

شیوع بیماری دیابت در جهان به سرعت رو به افزایش است و پیش‌بینی می‌شود تا سال ۲۰۵۰ حدود یک سوم

۱- دانشجوی دکترا فیزیولوژی، گروه فیزیولوژی و بیوفیزیک، دانشکده پزشکی، دانشگاه علوم پزشکی بقیه الله، تهران
۲- دکترا تحصیلی فیزیولوژی، دانشیار گروه فیزیولوژی و بیوفیزیک، دانشکده پزشکی، دانشگاه علوم پزشکی بقیه الله، تهران

و جریان خون کلیه بر عهده داشته و در ایجاد نفروپاتی دیابتی نقش مهمی دارد. طبق یافته‌های مطالعات پیشین میزان تولید نیتریک اکساید در جریان نفروپاتی دیابتی به میزان زیادی کاهش یافته و این کاهش باعث نقص در کنترل جریان خون کلیه شده و در بروز آسیب‌های ساختاری نفرون‌ها که در حین نفروپاتی به وجود می‌آید، نقش مهمی ایفا می‌کند (۱۰ و ۷).

با توجه به اهمیت رادیکال‌های آزاد در ایجاد نفروپاتی دیابتی استفاده از ترکیباتی که بتوانند این رادیکال‌ها را در حین هیپرگلیسمی مزمن حذف نمایند، در جلوگیری از پیشرفت این بیماری موثر خواهد بود. کروسین از اجزای موثر موجود در گیاه زعفران (*L-Crocus Sativus*) است که تنها کاروتنوئید آبدوست موجود در طبیعت به شمار می‌رود. مطالعات قبلی اثرات آنتی اکسیدانی و ضدالتهابی قوی این ترکیب را به خوبی نشان داده‌اند (۹ و ۱۰). کروسین به دلیل ساختار ویژه‌ی خود می‌تواند به سرعت به رادیکال‌های آزاد اکسیژن متصل شده و آن‌ها را از محیط‌شان جمع‌آوری نماید (۹). در مطالعات متعدد اثرات آنتی اکسیدانی و ضد استرس اکسیداتیو این ترکیب به اثبات رسیده است (۱۱ و ۱۲). در یک مطالعه مشخص شد که کروسین با اثرات آنتی اکسیدانی از تشکیل پلاک‌های بتا‌امیلوبلید در مغز جلوگیری کرده و روند پیشرفت بیماری آلزایمر را متوقف می‌نماید (۱۳). در مطالعه‌ای دیگر کروسین از طریق اثرات آنتی اکسیدانی در بافت کلیه از آسیب‌های ایسکمی کلیه جلوگیری کرده و باعث بهبود عملکرد کلیه ایسکمی شده است (۱۴). همچنین در مدل دیگری از ایسکمی، خونرسانی مجدد قلب کروسین به واسطه‌ی اثرات ضد استرس اکسیداتیو از آسیب به بافت قلب جلوگیری کرده است (۱۵). در چند مطالعه‌ی دیگر که بر روی آسیب ناشی از ایسکمی مغز (۱۶) و ایسکمی - خونرسانی عضله‌ی اسکلتی (۱۷) انجام شده، استفاده از کروسین به مقدار زیادی شدت آسیب‌های ایسکمی را به واسطه‌ی اثرات آنتی اکسیدانی کاهش داده است. نهایتاً در یک بررسی مشخص

مهم‌ترین آن‌ها می‌توان به نفروپاتی اشاره نمود (۲). نفروپاتی دیابتی یکی از اصلی‌ترین دلایل آسیب به کلیه و عامل از دست رفتن دائمی عملکرد کلیه‌ها در بیماران دیابتی محسوب می‌شود (۲). مطالعات زیادی در خصوص پاتوفیزیولوژی این بیماری و آسیب‌هایی که در ساختار و عملکرد کلیه‌ها در حین دیابت به وجود می‌آید انجام گرفته است. این آسیب‌ها شامل از دست رفتن سلول‌های پودوسيت، فيبروز توبولي، ضخیم شدن غشای پایه گلومرولی و توبولي، افزایش حجم فضای مزانشیال، آسیب‌های عروقی کلیه و هیپرتروفی گلومرولی می‌باشند (۳). در طی پیشرفت نفروپاتی ناشی از دیابت، عملکرد کلیه به مرور زمان دچار نقص شده و افزایش دفع آلبومین در ادرار که شاخص اصلی نفروپاتی دیابتی است ظاهر می‌شود و در طی مراحل نهایی بیماری کاهش فیلتراسیون گلومرولی، دفع گلbul قرمز در ادرار، افزایش غلظت کراتینین پلاسمای ادم محيطی مشاهده می‌گردد (۳).

مطالعات اخیر مسیرهای مخرب سلولی فراواتی در ارتباط با فرآیند ایجاد نفروپاتی دیابتی را نشان داده‌اند که از مهم‌ترین آن‌ها می‌توان به افزایش تولید رادیکال‌های آزاد در بافت کلیه و بروز استرس اکسیداتیو اشاره نمود (۴). در شرایط هیپرگلیسمی مزمن و کنترل نشده، تولید رادیکال‌های آزاد اکسیژن (ROS) به صورت گستره‌ای در بافت کلیه افزایش می‌یابند که این رادیکال‌ها با اتصال به ماکرومولکول‌های مهم و کلیدی سلول از جمله اسیدهای نوکلئیک، پروتئین‌ها و لیپیدها باعث اختلال در عملکرد سلول‌ها می‌گرددند (۵ و ۶). در مواردی این رادیکال‌ها باعث فعال شدن مسیرهای آپوپتوز و نکروز سلولی در بافت کلیه شده و سبب مرگ سلول‌ها می‌گرددند (۵ و ۶). همچنین اتصال این رادیکال‌ها به اسیدهای چرب غیر اشباع غشای سلولی سبب پراکسیداسیون آن‌ها و تولید مالوندی‌آلدهید (MDA) می‌شود (۶). از طرفی نیتریک اکساید (NO) به عنوان یک ماده‌ی موثر بر عروق و با نیمه عمر بسیار کوتاه نقش بسیار مهمی در تنظیم تونوسیته‌ی عروق

درجه‌ی سانتی‌گراد) در طی آزمایش نگهداری شدند. نحوه القای دیابت قندی: برای ایجاد دیابت قندی نوع اول از استرپتوزوتوسین (سیگما، USA) استفاده شد. حیوانات توسط داروی ترکیبی کتابمین (۱۰۰ میلی گرم بر کیلوگرم) و دیازپام (۵ میلی گرم بر کیلوگرم) بیهوش شدند. سپس از محلول از پیش تهیه شده‌ی استرپتوزوتوسین (به میزان ۴۰ میلی گرم به ازای یک کیلوگرم وزن بدن) از راه ورید جانبی دم به حیوان تزریق گردید. سه روز بعد از تزریق، حیوانات با علائم پرنوشی و پرادراری مشخص شدند. ۷۲ ساعت بعد از تزریق استرپتوزوتوسین، میزان قند خون اندازه‌گیری و حیواناتی که گلوکز سرمی بالایی داشتند (بالای ۴۰۰ میلی گرم در دسی‌لیتر)، به عنوان حیوان دیابتی انتخاب و وارد دوره‌ی آزمایش گردیدند (۲۰).

گروه بندی حیوانات: در این مطالعه موش‌های صحرایی به صورت تصادفی به ۴ گروه ۶ تایی تقسیم شدند (N=۲۴): گروه نرمال، گروه نرمال و کروسین، گروه دیابتی، گروه دیابتی و کروسین. گروه نرمال شامل موش‌های صحرایی سالم بود که در طول آزمایش هیچ دارویی مصرف نکرده و تنها نیم میلی لیتر نرمال سالین به صورت داخل صفاقی و روزانه به مدت ۲ ماه دریافت کردند. در گروه نرمال و کروسین تمامی پروتکل‌های آزمایش شبیه گروه نرمال بود با این تفاوت که به مدت ۲ ماه داروی کروسین را به مقدار ۴۰ میلی گرم بر کیلوگرم به صورت روزانه از طریق داخل صفاقی دریافت کردند. دیابت نوع اول در حیوانات گروه دیابتی با تزریق درون وریدی استرپتوزوتوسین القا گردید. پس از ۳ روز از ثابت شدن علائم دیابت (پرنوشی، پرادراری و گلوکز بالای سرم) از حیوانات این گروه به عنوان کنترل دیابتی استفاده شد. حیوانات این گروه در طول آزمایش، هیچ دارویی مصرف نکرده و تنها نیم میلی لیتر نرمال سالین به طور روزانه به مدت ۲ ماه از طریق داخل صفاقی دریافت کردند. در حیوانات گروه دیابتی و کروسین (سیگما، آلمان) تمامی انجام مراحل آزمایش

گردید کروسین میزان استرس اکسیداتیو که در جریان برخی آسیب‌های مزمن کلیوی به وجود می‌آید را به مقدار قابل ملاحظه‌ای کاهش می‌دهد (۱۸).

هیپرگلیسمی مزمن و کنترل نشده آغازگر و فعال کننده‌ی سیگنال‌هایی است که با ایجاد آسیب‌های شدید ساختاری منجر به نقص در عملکرد کلیه شده و نهایتاً باعث بروز نفروپاتی و صدمات غیر قابل برگشت در عملکرد کلیه می‌شود (۲۱ و ۳). طبق یافته‌های اخیر آسیب به سیستم دفاع آنتی اکسیدانی بافت کلیه و تولید انواع رادیکال‌های آزاد نقش کلیدی در بروز نفروپاتی ناشی از هیپرگلیسمی (گلوکز خون بالا) مزمن دارد (۶). از آن جایی که بر پایه‌ی نتایج تحقیقات ارائه شده کروسین دارای ماهیت آنتی اکسیدانی بسیار خوبی در شرایط مختلف پاتولوژیک است و از طرفی تولید انواع رادیکال‌های آزاد و تضعیف دفاع آنتی اکسیدانی بافت کلیه نقش مهمی در پاتوفیزیولوژی نفروپاتی و آسیب به عملکرد کلیه در شرایط هیپرگلیسمی مزمن و کنترل نشده بر عهده دارد (۱۹ و ۲۰)، مطالعه‌ی حاضر به منظور بررسی تاثیر محافظتی کروسین بر عملکرد کلیه، میزان تولید رادیکال‌های آزاد اکسیژن و بروز استرس اکسیداتیو و همچنین میزان تولید اکسیژن اکساید کلیه در مدل تجربی نفروپاتی انجام شد.

روش بررسی

حیوانات و نحوه نگهداری: در این مطالعه مداخله‌ای-تجربی از موش‌های صحرایی نر نژاد ویستار تهیه شده از مرکز پژوهشی حیوانات آزمایشگاهی دانشگاه علوم پزشکی بقیه الله در محدوده وزنی ۱۹۰ تا ۲۲۰ گرم استفاده شد. در تمامی آزمایش‌ها شرایط کار با حیوانات آزمایشگاهی تعیین شده توسط کمیته اخلاقی دانشگاه علوم پزشکی بقیه الله رعایت گردید. حیوانات بدون داشتن محدودیتی از نظر مصرف آب و غذا در شرایط استاندارد ۱۲ ساعت روشنایی و تاریکی با درجه حرارت ۲۲±۲

آلکالین پیکرات تشکیل کمپلکس رنگی داده که شدت رنگ ایجاد شده متناسب با مقدار کراتینین در نمونه است. جهت اندازه‌گیری، محلول هیدروکسید سدیم و اسید پیکریک به ترتیب به نسبت ۴ به ۱ با هم مخلوط شدند. سپس با استفاده از سمپلر به مقدار ۵۰ میکرولیتر از نمونه یا استاندارد، به ۱۰۰۰ میکرولیتر از محلول آماده شده اضافه شده و ۶۰ ثانیه بعد از مخلوط کردن نمونه‌ها یا استاندارد با محلول مورد نظر جذب نوری اولیه و دو دقیقه بعد، جذب نوری ثانویه در طول موج ۵۰۰ نانومتر توسط دستگاه اسپکتروفوتومتر قرائت شد. در نهایت غلظت کراتینین خون بر حسب میلی‌گرم در صد میلی‌لیتر (میلی‌گرم بر دسی‌لیتر) با استفاده از فرمول زیر محاسبه گردید:

$$\text{کراتینین سرم} (\text{میلی‌گرم بر دسی‌لیتر}) = [\text{اختلاف جذب نوری نمونه} \div \text{جذب نوری استاندارد}] \times \text{غلظت محلول استاندارد} (\text{میلی‌گرم بر دسی‌لیتر})$$

اندازه‌گیری مالوندی‌آلدئید (MDA) به عنوان شاخص اکسیداسیون لیپیدها: برای تعیین میزان مالوندی‌آلدئید (MDA)، از روش Satho استفاده شد (۲۱). در روز آزمایش، بافت کلیه منجمد شده به دقت توزین و به نسبت ۱۰ در بافر فسفات سالین هموژنیزه شده و پس از آن نمونه‌ها در ۱۴۰۰۰ g و ۴ دقیقه سانتی‌گراد به مدت ۱۵ دقیقه سانتریفوژ گردیدند. در ادامه، به ۵۰۰ میکرولیتر بافت هموژنه، ۱/۵ میلی‌لیتر تری‌کلرواستیک اسید (TCA) ۱۰ درصد اضافه و به مدت ۱۰ دقیقه سانتریفوژ شد، سپس ۱/۵ میلی‌لیتر از مایع رویی را برداشته و ۲ میلی‌لیتر اسیدتیوباربیتوئیک /۷۷ درصد به آن اضافه شد و به مدت ۳۰ دقیقه در بن‌ماری جوش قرار گرفت؛ سپس ۲ میلی‌لیتر ۱-بوتانول به محلول اضافه و بعد از ورتكس شدید، به مدت ۱۵ دقیقه در ۴۰۰۰ دور سانتریفوژ شد. جذب محلول رویی صورتی رنگ به وسیله‌ی دستگاه اسپکتروفوتومتر در طول موج ۵۳۲ نانومتر قرائت گردید. غلظت MDA با استفاده از ۱، ۲ و ۳ ترا اتوکسی‌پروپان

شبیه گروه دیابتی بود، با این تفاوت که در طی دوره‌ی آزمایش با داروی کروسین (به میزان ۴۰ میلی‌گرم بر کیلوگرم) به صورت روزانه از طریق داخل صفاقی تیمار شدند.

در انتهای آزمایش، حیوانات تحت بیهوشی عمیق قرار گرفته و پس از خونگیری، بافت کلیه‌ی حیوان جدا و به سرعت به داخل نیتروژن مایع و سپس به فریزر -۸۰- درجه‌ی سانتی‌گراد انتقال یافت. سرم خون به وسیله دستگاه سانتریفوژ (۳۰۰۰ دور در دقیقه) جدا گردید. از سرم‌های جداسده پارامترهای بیوشیمیایی کراتینین و گلوکز سرم به وسیله پروتکل کیت‌های شرکت پارس آزمون مورد سنجش قرار گرفت.

اندازه‌گیری غلظت سرمی گلوکز: جهت اندازه‌گیری گلوکز خون از کیت تشخیص کمی گلوکز سرم به روش نور سنجی (پارس آزمون، ایران) استفاده شد. در این روش آب اکسیژن آزاد شده از گلوکز در مجاورت آنزیم گلوکز اکسیداز با فنول و ۴-امینو آنتی‌پیرین در مجاورت آنزیم پراکسیداز تشکیل کینونیمین می‌دهد. میزان کینونیمین تشکیل شده که با روش نورسنجی قابل اندازه‌گیری بوده با مقدار گلوکز رابطه‌ی مستقیم دارد. بدین منظور با استفاده از سمپلر ۱۰ میکرولیتر از نمونه (سرم تهیه شده) یا محلول استاندارد را با ۱۰۰۰ میکرولیتر از معروف کیت تشخیص گلوکز مخلوط نموده و پس از ۲۰ دقیقه انکوبه کردن در دمای ۳۷ درجه‌ی سانتی‌گراد جذب نوری در طول موج ۵۴۶ نانومتر به واسطه‌ی دستگاه اسپکتروفوتومتر (CECIL-2501, England) قرائت شد و غلظت گلوکز سرم (میلی‌گرم در صد میلی‌لیتر) از فرمول زیر محاسبه گردید:

$$\text{گلوکز سرم} (\text{میلی‌گرم بر دسی‌لیتر}) = [\text{جذب نوری نمونه} \div \text{جذب نوری استاندارد}] \times \text{غلظت محلول استاندارد} (\text{میلی‌گرم بر دسی‌لیتر})$$

اندازه‌گیری غلظت سرمی کراتینین: جهت اندازه‌گیری کراتینین خون از کیت تشخیص کمی کراتینین سرم با روش نورسنجی (پارس آزمون، ایران) استفاده شد. در این آزمایش کراتینین با

(BSA) تهیه گردید. سپس غلظت‌های ۵، ۱۰، ۲۰، ۴۰، ۶۰ و ۸۰ میکروگرم در میلی‌لیتر از آن ساخته و به عنوان غلظت‌های استاندارد به کار برد شد.

بررسی آسیب-شناختی کلیه: جهت مطالعه‌ی میکروسکوپی، ابتدا نمونه‌ی مورد نظر (یافت کلیه) به مدت ۲ هفته جهت ثبت در فرمالین ۱۰ درصد قرار گرفت، سپس بقیه‌ی مراحل به شرح زیر انجام شد. در ادامه، مراحل پاساژ بافت و قالب‌گیری با پارافین، طبق روش‌های روتین آماده‌سازی بافت صورت گرفت. مرحله‌ی برش‌گیری به وسیله‌ی دستگاه میکروتوم با ضخامت ۵ میکرومتر انجام شد. سپس مقاطع تهیه شده در محل مورد نظر بر روی لام منتقل و برش‌ها با روش رنگ‌آمیزی هماتوکسیلین و ائوزین (H&E) (رنگ‌آمیزی شدن). در نهایت، بر روی برش‌های تهیه شده آب‌گیری و شفاف‌سازی و فرآیند مانت کردن انجام شد. در پایان، لام‌های تهیه شده با دقت و با دستگاه میکروسکوپ نوری (Nikon) مورد ارزیابی قرار گرفت و با استفاده از دوربین مخصوص میکروسکوپ متصل به کامپیوتر از نقاط مورد نظر تصویر تهیه گردید و شاخص‌های نکروز و آسیب گلومرولی مورد ارزیابی قرار گرفت.

آنالیز آماری: نتایج آماری به صورت میانگین \pm انحراف معیار (Mean \pm SD) ارائه شده است. داده‌ها با استفاده از نرم‌افزار SPSS نسخه‌ی ۲۱ و آزمون آماری آنالیز واریانس (ANOVA) و آزمون تعقیبی توکی (Tukey) تجزیه و تحلیل شدند. ضمناً، برای مقایسه داده‌های شروع و خاتمه آزمایش از روش آماری Paired T-test استفاده گردید. سطح معنی‌داری، $P < 0.05$ در نظر گرفته شد.

یافته‌ها

نتایج گلوکز سرم: غلظت گلوکز سرمی حیوانات مورد مطالعه در تمامی گروه‌ها در جدول ۱ نشان داده شده است. میزان گلوکز سرمی حیوانات گروه نرمال در شروع و خاتمه

به عنوان استاندارد، بر حسب میکروگرم در میلی‌لیتر تعیین شد. محلول استاندارد MDA در غلظت‌های ۲۰-۰/۲ میکرومولار در اسید‌سولفوریک ۱۰ درصد تهیه گردید. سپس مقدار MDA به دست آمده بر مقدار پروتئین به دست آمده (میلی‌گرم در یک میلی‌لیتر) تقسیم شده و در نهایت مقدار MDA بر حسب میکروگرم بر میلی‌گرم پروتئین محاسبه شد. اندازه‌گیری میزان نیترات کلیه: اندازه‌گیری میزان نیترات نیز با استفاده از مت گریس انجام شد (۲۲). در روز آزمایش، بافت کلیه منجمد شده به دقت توزین و به نسبت ۱:۱۰ در بافر فسفات سالین هموژنیزه شده و پس از آن نمونه‌ها در ۱۴۰۰ و ۴ درجه‌ی سانتی‌گراد به مدت ۱۵ دقیقه سانتریفیوژ گردیدند. از محلول رویی جهت سنجش نیترات استفاده شد. سپس با استفاده از سولفات روی، پروتئین زدایی نمونه‌ها انجام شده و ۱۰۰ میکرو‌لیتر محلول کلرید وانادیوم III (۸ میلی‌گرم بر میلی‌لیتر) اضافه شده تا نیتریت را به نیترات احیا کند. سپس محلول گریس شامل ۵۰ میکرو لیتر سولفانیل آمید (۲ درصد) و ۵۰ میکرو‌لیتر اتیلین دی آمید دی هیدروکلرید (۱ درصد) اضافه گردیده و ۳۰ دقیقه در ۳۷ درجه‌ی سانتی‌گراد انکوبه شد. سپس رنگ به دست آمده در طول موج ۵۴۰ نانومتر توسط دستگاه اسپیکتروفتو متر قرائت شده و جذب نمونه‌ها با جذب استاندارد (۵، ۱۰، ۲۰، ۴۰، ۶۰، ۸۰ و ۱۰۰ میکرو مولار نیترات) مقایسه و غلظت نمونه‌ها محاسبه گردید. در نهایت غلظت نیترات بر حسب میکروگرم بر میلی‌گرم پروتئین بیان شد.

اندازه‌گیری میزان پروتئین کلیه: برای تعیین غلظت پروتئین از روش برادفورد استفاده شد (۲۲). حجم معینی از عصاره بافتی با رقت مناسب را برداشته و به حجم ۱ میلی‌لیتر رسانده شد. سپس ۲ میلی‌لیتر از محلول برادفورد با رقت ۳:۱ به آن اضافه و به مدت ۱۰ دقیقه انکوبه گردید. سپس در طول موج ۵۹۵ نانومتر، میزان جذب قرائت شد. جهت رسم منحنی استاندارد، ابتدا محلول ۱ میلی‌گرم بر میلی‌لیتر از آلبومین سرم گاوی

آزمایش ($16/97 \pm 0.0$ میلی گرم در صد میلی لیتر) و خاتمه نرمال به طور معنی داری افزایش داد ($P < 0.001$). همچنین القای دیابت میزان کراتینین سرم را در حیوانات گروه دیابتی و کروسین ($17/99 \pm 0.0$ میلی گرم در صد میلی لیتر) در مقایسه با گروه نرمال به طور معنی داری افزایش داد ($P < 0.001$). در حالی که کروسین توانست از افزایش میزان سرمی کراتینین در حیوانات گروه دیابتی درمان شده ($13/12 \pm 0.0$ میلی گرم در صد میلی لیتر) جلوگیری نماید که میزان آن در مقایسه با گروه دیابتی از لحاظ آماری معنی داری بود ($P < 0.001$).

نتایج مالون دی آلدھید: تغییرات غلظت مالون دی آلدھید (MDA) بافت کلیه بر حسب میکرو گرم بر میلی گرم پروتئین در جدول ۲ نشان داده شده است. القای دیابت در طی ۶۰ روز، میزان غلظت MDA بافت کلیه را در حیوانات گروه کنترل دیابتی ($19/13 \pm 0.00$ میکرو گرم بر میلی گرم پروتئین) در مقایسه با گروه نرمال ($22/10 \pm 0.05$ میکرو گرم بر میلی گرم پروتئین) به طور معنی داری افزایش داد ($P < 0.001$). تیمار با کروسین در طی ۶۰ روز، میزان MDA بافت کلیه گروه دیابتی درمان شده ($79/0 \pm 0.07$ میکرو گرم بر میلی گرم پروتئین) در مقایسه با گروه دیابتی را به طور معنی داری کاهش داد ($P < 0.001$). در حالی که تیمار با کروسین به مدت ۶۰ روز، هیچ تاثیر معنی داری در میزان غلظت MDA بافت کلیه در گروه نرمال درمان شده ($58/0 \pm 0.05$ میکرو گرم بر میلی گرم پروتئین) در مقایسه با گروه کنترل نرمال ایجاد نکرد.

نتایج نیترات: تغییرات غلظت نیترات (شاخص تولید نیتریک اکساید) بافت کلیه بر حسب میکرو گرم بر میلی گرم پروتئین در جدول ۲ نشان داده شده است. القای دیابت در طی ۶۰ روز، میزان غلظت نیترات بافت کلیه را در حیوانات گروه کنترل دیابتی ($3/20 \pm 0.02$ میکرو گرم بر میلی گرم پروتئین) در مقایسه با گروه نرمال ($28/32 \pm 0.02$ میکرو گرم بر میلی گرم پروتئین)

آزمایش به ترتیب برابر با 15 ± 0.06 و 15 ± 0.00 میلی گرم در صد میلی لیتر بود که در مقایسه ای آماری بین آنها تغییر معنی داری وجود نداشت. میزان گلوکز سرم در حیوانات تیمار شده با کروسین (گروه نرمال و کروسین) در شروع آزمایش 7 ± 0.11 میلی گرم در صد میلی لیتر داد. مقدار گلوکز سرم در حیوانات این گروه در پایان آزمایش کمتر از زمان شروع بود اما از لحاظ آماری بین آنها تغییر معنی داری وجود نداشت. القای دیابت میزان گلوکز سرم را در حیوانات گروه دیابتی (35 ± 0.45 میلی گرم در صد میلی لیتر) در مقایسه با گروه نرمال به طور معنی داری افزایش داد ($P < 0.001$) که میزان آن در پایان آزمایش برابر 33 ± 0.21 میلی گرم در صد میلی لیتر بود. همچنین القای دیابت، میزان گلوکز سرم را در حیوانات گروه دیابتی و کروسین (25 ± 0.45 میلی گرم در صد میلی لیتر) در مقایسه با گروه نرمال به طور معنی داری افزایش معنی داری افزایش داد ($P < 0.001$) ولی با گروه دیابتی از لحاظ مقایسه آماری تفاوت معنی داری وجود نداشت. کروسین توانست میزان گلوکز سرم را در حیوانات گروه دیابتی درمان شده (30 ± 0.37 میلی گرم در صد میلی لیتر) در مقایسه با گروه دیابتی به طور معنی داری کاهش دهد ($P < 0.005$).

نتایج کراتینین سرم: مقادیر سرمی کراتینین حیوانات مورد مطالعه در تمامی گروهها در جدول ۱ نشان داده شده است. میزان کراتینین سرمی حیوانات گروه نرمال در شروع و خاتمه آزمایش به ترتیب برابر با $17/0 \pm 0.06$ و $0/0.09 \pm 0.02$ میلی گرم در صد میلی لیتر بود که در مقایسه ای آماری بین آنها تغییر معنی داری وجود نداشت. میزان کراتینین سرم در حیوانات تیمار شده با کروسین (گروه نرمال و کروسین) در شروع آزمایش 23 ± 0.02 میلی گرم در صد میلی لیتر و خاتمه آزمایش 22 ± 0.02 میلی گرم در صد میلی لیتر بود که بین آنها از لحاظ آماری تغییر معنی داری وجود نداشت. القای دیابت میزان کراتینین سرم را در حیوانات گروه دیابتی در شروع

کروسین به مدت ۶۰ روز، هیچ تاثیر معنی‌داری در میزان نیترات بافت کلیه در گروه نرمال درمان شده (37 ± 7 میکروگرم بر میلی‌گرم پروتئین) در مقایسه با گروه کترول نرمال ایجاد نکرد.

به طور معنی‌داری کاهش داد ($P < 0.05$). تیمار با کروسین در طی ۶۰ روز، بر میزان نیترات بافت کلیه گروه دیابتی درمان شده (22 ± 4 میکروگرم بر میلی‌گرم پروتئین) در مقایسه با گروه دیابتی تاثیر معنی‌داری نداشت. همچنین تیمار با

جدول ۱. مقادیر گلوکز و کراتینین سرم (میلی‌گرم بر دسی لیتر) حیوانات مورد مطالعه در شروع و خاتمه آزمایش

کراتینین سرم (mg/dL)		گلوکز سرم (mg/dL)		گروه‌ها
پایان	شروع	پایان	شروع	
0.772 ± 0.09	0.64 ± 0.17	1.00 ± 1.5	1.06 ± 9	نرمال
0.58 ± 0.08	0.82 ± 0.23	8.6 ± 1.7	11.8 ± 7	نرمال و کروسین
$4.51 \pm 0.45^{***}$	$0.97 \pm 0.16^*$	$42.1 \pm 22^{***}$	$45.0 \pm 35^{***}$	دیابتی
$1.12 \pm 0.13^{###}$	$0.99 \pm 0.17^*$	$37.7 \pm 3.0^{**\#}$	$41.5 \pm 2.5^{***}$	دیابتی و کروسین

داده‌ها به صورت $Mean \pm SD$ نمایش داده شده است.

* ($P < 0.05$) و *** ($P < 0.001$) نشان دهنده تفاوت معنی‌دار در مقایسه با گروه نرمال و داده‌های شروع آزمایش

($P < 0.05$) و ### ($P < 0.001$) نشان دهنده تفاوت معنی‌دار در مقایسه با گروه دیابتی

جدول ۲. مقادیر مالون دی‌آلدیید (MDA) و نیترات بافت کلیه (میکروگرم بر میلی‌گرم پروتئین) در حیوانات مورد مطالعه در پایان آزمایش

نیترات ($\mu\text{g}/\text{mg protein}$)	مالون دی‌آلدیید (MDA) ($\mu\text{g}/\text{mg protein}$)	گروه‌ها
32 ± 8	10.22 ± 0.54	نرمال
37 ± 7	$9.43 \pm 0.58^*$	نرمال و کروسین
$20 \pm 3^*$	$13.00 \pm 0.19^{***}$	دیابتی
$22 \pm 4^*$	$9.22 \pm 0.79^{**###}$	دیابتی و کروسین

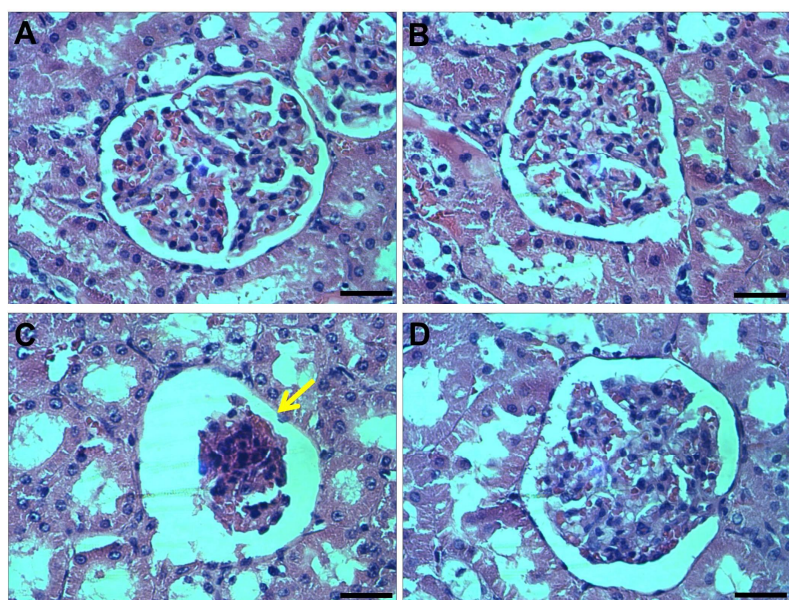
داده‌ها به صورت $Mean \pm SD$ نمایش داده شده است.

* ($P < 0.05$) و *** ($P < 0.001$) نشان دهنده تفاوت معنی‌دار در مقایسه با گروه نرمال

($P < 0.001$) نشان دهنده تفاوت معنی‌دار در مقایسه با گروه دیابتی

گلومرولواسکلروز، کاهش تعداد گلومرول‌ها و افزایش گلومرول‌های تحلیل‌رفته در مقایسه با گروه‌های نرمال به‌وضوح در بافت کلیه مشاهده گردید. در صورتی که در حیوانات دیابتی درمان شده با کروسین، فضای گلومرولی، مویرگ‌ها و سلول‌های سازنده گلومرول‌ها و توبول‌ها همانند حیوانات گروه نرمال، سالم به‌نظر می‌رسند.

نتایج بررسی‌های آسیب شناختی: همان‌طور که تصاویر میکروسکوپی تهیه شده از بافت کلیه (شکل ۱) حیوانات مورد آزمایش نشان می‌دهد در حیوانات گروه نرمال و نرمال درمان شده با کروسین گلومرول، فضای کپسول بومن و شکل توبول‌ها در حالت طبیعی و سالم مشاهده می‌شوند. در حیوانات گروه دیابتی، اتساع فضای کپسول بومن،



شکل ۱: مقاطع عرضی بافت کلیه با روش رنگ آمیزی هماتوكسیلین و ائوزین در گروه‌های مختلف. در تصاویر به دست آمده از حیوانات گروه‌های نرمال (A) و نرمال تیمار شده با کروسین (B) گلومرول‌ها طبیعی هستند. در گروه دیابتی گلومرول‌ها آسیب دیده و گلومرولواسکلروز و آسیب توبولی به وضوح مشاهده می‌شود (C)، که میزان این آسیب در گروه دیابتی درمان شده با کروسین کاهش یافته است (D). (400X Scale bars= 30 μm).

توانست میزان کراتینین خون این حیوانات را به‌همراه تغییرات آسیب‌شناختی کاهش دهد. به علاوه در حیوانات دیابتی درمان شده، میزان گلوکز سرم و فرآیند استرس اکسیداتیو (کاهش غلظت MDA) در بافت کلیه کاهش یافت.

در مطالعه‌ی حاضر کروسین میزان گلوکز سرمی حیوانات دیابتی را به‌طور معنی‌داری کاهش داد. همین‌طور این کاهش در حیوانات گروه نرمال درمان شده توسط کروسین هم مشاهده شد ولی از لحاظ آماری معنی‌دار نبود. اثرات

بحث

در مطالعه‌ی حاضر هیپرگلیسمی توانست علائم نفropاتی در حیوانات مورد آزمایش را به‌خوبی ایجاد کند چرا که میزان کراتینین خون به‌طور معنی‌داری افزایش یافت و آسیب‌های بافتی نیز در بافت کلیه این حیوانات مشهود بود. در این میان، تولید رادیکال‌های آزاد اکسیژن (افزایش میزان MDA) در بافت کلیه افزایش و مقدار نیترات بافت کلیه (شاخص تولید نیتریک اکساید) کاهش یافت. از طرفی درمان با کروسین

مطالعه‌ی حاضر شده است. از طرفی نتایج مطالعه‌ی حاضر نشان داد تیمار با کروسین توانسته میزان کراتینین پلاسمما را در طی هیپرگلیسمی مزمن کاهش دهد. این نتایج، نشانگر این مطلب است که احتمالاً کروسین، از آسیب به سد فیلتراسیون و کاهش فیلتراسیون در طی هیپرگلیسمی جلوگیری می‌کند چرا که درمان با کروسین، گلوکز خون را به حد نرمال نرسانیده است. در راستای این یافته‌ها، می‌توان به نتایج بررسی‌های آسیب‌شناختی مبنی بر اینکه درمان با کروسین در حیوانات دیابتی شده می‌تواند از آسیب به گلومرول‌ها و بافت کلیه جلوگیری کند، اشاره نمود.

طبق یافته‌های محققین افزایش تولید انواع رادیکال‌های آزاد اکسیژن از عوامل اصلی آسیب‌های ساختاری در گلومرول‌ها بوده و از طریق صدمه به پروتئین‌های سلولی و غشای پایه سبب آسیب به سد فیلتراسیون می‌شود (۴ و ۳). طبق یافته‌های مطالعه‌ی حاضر میزان MDA و اکسیداسیون لیپیدها (شانحص تولید رادیکال‌های آزاد اکسیژن) در بافت کلیه در زمان دیابت به‌طور قابل ملاحظه‌ای افزایش یافت، بر اساس یافته‌های هوانگ و همکاران آنزیم کاتالاز یکی از آنزیم‌های مهم دفاع آنتی اکسیدانی بدن بوده که در شرایط هیپرگلیسمی کاهش قابل توجهی پیدا می‌کند (۲۸). همچنین نتایج مطالعات حاکی از آن است که میزان گلوتاتیون به عنوان یک عامل آنتی اکسیدان قوی و نیز فعالیت آنزیم سوپراکسید دیسموتاز در شرایط هیپرگلایسمی کاهش می‌یابد (۴ و ۲۹). از آن جایی که این آنزیم‌ها سبب تجزیه و حذف رادیکال‌های آزاد می‌شوند، کاهش فعالیت این آنزیم‌ها مانع از حذف این رادیکال‌های سمی در بافت کلیه شده و منجر به استرس اکسیداتیو در بافت کلیه می‌شود. نهایتاً، گزارش شده بیان آنزیم NADPH-اکسیداز در بافت‌های بدن در شرایط هیپرگلیسمی زیاد شده و باعث افزایش تولید رادیکال‌های آزاد می‌شود (۳۰). نتایج پژوهش حاضر نشان داد استفاده از کروسین میزان رادیکال‌های آزاد و استرس اکسیداتیو در بافت

کاهندگی گلوکز خون توسط کروسین، که از مهم‌ترین کاروتنوئیدهای گیاه زعفران بوده، در موارد متعدد گزارش شده است. در یک مطالعه استفاده از کروسین به مدت ۶ هفته باعث کاهش میزان هموگلوبین A1c و همچنین گلوکز ناشتای خون در حیوانات دیابتی گردید (۲۴). همچنین در مطالعه‌ی دیگری تیمار با کروسین به مدت ۵ ماه موجب کاهش قند خون ناشتا در حیوانات دیابتی شد (۲۵). پیشنهاد شده این اثرات کاهندگی قند خون کروسین به دلیل تاثیرات مثبت آن بر عملکرد سلول‌های بتای پانکراس و افزایش ترشح انسولین از جزایر لانگرهانس باشد (۲۶). همچنین مشخص شده کروسین علاوه بر بهبود عملکرد سلول‌های بتای پانکراس با تاثیر بر ریپتورهای محیطی انسولین سبب کاهش مقاومت به انسولین می‌گردد (۲۶).

در طی پیشرفت نفروپاتی دیابتی، تغییرات آسیب‌شناختی گستردگی در بافت کلیه رخ داده و علائم متعددی از نقص عملکرد کلیه ظاهر می‌شود که افزایش میزان کراتینین خون از مهم‌ترین آن‌ها است (۸)، در مطالعه‌ی حاضر نیز در طی دو ماه هیپرگلیسمی مزمن و کترول نشده، افزایش معنی‌داری در غلظت کراتینین خون به همراه تغییرات آسیب‌شناختی بافت کلیه مشاهده شد. دلایل مختلفی می‌تواند باعث افزایش کراتینین خون شود که از جمله می‌توان به اختلال در عملکرد کلیه به دلیل تخریب تعداد زیادی از گلومرول‌های کلیه و گلومرولواسکلروز اشاره کرد (۲۷). نتیجه‌ی بررسی‌های آسیب‌شناختی ما نیز به خوبی این تغییرات را نشان می‌دهد. همچنین آسیب به مویرگ‌های گلومرولی و مسدودشدن آن‌ها که در طی هیپرگلیسمی مزمن اتفاق می‌افتد باعث اختلال در گردش خون عروق ریز کلیه شده و در نهایت، منجر به کاهش میزان فیلتراسیون گلومرولی خواهد شد (۲۷). از آن جایی که کراتینین یک فاکتور وابسته به فیلتراسیون گلومرولی است به‌نظر می‌رسد کاهش فیلتراسیون گلومرولی، دفع کراتینین را تحت تاثیر قرار داده و منجر به افزایش کراتینین خون در

گسترش نفروپاتی دیابتی را آهسته‌تر کرده و آسیب‌های ساختاری و عملکردی کلیه مانند ضخیم شدن غشای پایه و گسترش فضای مزانشیال را کاهش می‌دهد (۷). در تحقیق حاضر کروسین نتوانست باعث افزایش میزان تولید نیتریک اکساید در حیوانات دیابتی گردد اما آسیب‌های ناشی از دیابت را کاهش داده و باعث بهبود عملکرد کلیه گردید. بنابراین، احتمال دارد اثرات بهبودی بخش کروسین بر عملکرد کلیه مستقل از افزایش سنتز نیتریک اکساید در کلیه باشد.

نتیجه گیری

یافته‌های مطالعه‌ی حاضر نشان می‌دهد کروسین از آسیب به ساختار و عملکرد کلیه در طی هیپرگلیسمی مزمن و کنترل نشده جلوگیری می‌کند. همچنین طبق نتایج ما کروسین می‌تواند از طریق اثرات آنتی اکسیدانی، کاهش رادیکال‌های آزاد و مهار فرآیند استرس اکسیداتیو در بافت کلیه از بروز نفروپاتی دیابتی در طی هیپرگلیسمی مزمن جلوگیری نماید.

تقدیر و تشکر

این مقاله قسمتی از نتایج پایان نامه دکترای تخصصی می‌باشد. بدین وسیله از گروه فیزیولوژی و بیوفیزیک دانشکده‌ی پزشکی و معاونت پژوهش دانشکده‌ی پزشکی دانشگاه علوم پزشکی بقیه الله که مقدمات و هزینه موردنیاز این تحقیق را فراهم نمودند تشکر و قدردانی می‌شود.

کلیه را کاهش داده است (کاهش مالوندی‌آلدهید). گزارش شده کروسین هم به صورت مستقیم از طریق اتصال به رادیکال‌های آزاد و هم به صورت غیر مستقیم از طریق فعال کردن آنزیم‌های آنتی اکسیدان منجر به کاهش استرس اکسیداتیو می‌گردد (۹). به عنوان مثال آفای فام و همکاران در یک مطالعه نشان دادند کروسین مستقیماً به آنیون سوپراکسید (O_2^-) متصل شده و از اثرات مخرب آن جلوگیری می‌کند (۳۱). همچنین در مطالعه‌ی اوچیای و همکاران مشخص شده کروسین منجر به افزایش فعالیت آنزیم‌های آنتی اکسیدان مانند سوپراکساید دیسموتاز می‌شود (۳۲). نهایتاً، اصدق و همکاران در مطالعه‌ی خود گزارش کردند کروسین فعالیت آنزیم‌های آنتی اکسیدانی همچون سوپراکسید دیسموتاز و کاتالاز را به همراه گلوتاتیون افزایش داده است (۳۳).

براساس یافته‌های مطالعه‌ی حاضر، میزان نیترات کلیه که شاخصی از میزان تولید نیتریک اکساید در بافت کلیه است در طی هیپرگلیسمی کاهش پیدا کرد. گزارش شده میزان پاسخ اتساعی عروق از طریق نیتریک اکساید در افراد دارای دیابت کنترل نشده کاهش می‌یابد (۳۴). از طرفی مهار عملکرد آنزیم نیتریک اکساید سنتاز اندوتیالی موجب کاهش تولید نیتریک اکساید بافت کلیه در حین دیابت شده و منجر به بروز آسیب‌های عروقی و عملکردی کلیه می‌گردد (۳۵). به طوری که افزایش فعالیت این آنزیم باعث کاهش میزان آسیب‌های کلیوی در حین دیابت می‌گردد (۸). نهایتاً، مطالعه‌ی چنگ و همکاران نشان داد بهبود میزان تولید نیتریک اکساید روند

Popul Health Metr. 2010; 8: 29.

2- Rivero A, Mora C, Muros M, Garcia J, Herrera H, Navarro-Gonzalez J. Pathogenic perspectives for the role of inflammation in diabetic nephropathy. *Clin Sci.* 2009; 116: 479-92.

References

- Boyle JP, Thompson TJ, Gregg EW, Barker LE, Williamson DF. Projection of the year 2050 burden of diabetes in the US adult population: dynamic modeling of incidence, mortality, and prediabetes prevalence.

- 3- Arora MK, Singh UK. Molecular mechanisms in the pathogenesis of diabetic nephropathy: an update. *Vascul Pharmacol.* 2013; 58: 259-71.
- 4- Kashihara N, Haruna Y, Kondeti V, Kanwar Y. Oxidative stress in diabetic nephropathy. *Curr Med Chem.* 2010;17: 4256-69.
- 5- Vadivelan R, Umasankar P, Mandal D, Shanish A, Dhanabal S, Elango K. Oxidative stress induced diabetic nephropathy. *Res J Pharmacol Pharmacodynam.* 2010; 2: 321-3.
- 6- Bhatia S, Shukla R, Madhu SV, Gambhir JK, Prabhu KM. Antioxidant status, lipid peroxidation and nitric oxide end products in patients of type 2 diabetes mellitus with nephropathy. *Clin Biochem.* 2003; 36: 557-62.
- 7- Cheng H, Wang H, Fan X, Pauksakon P, Harris RC. Improvement of endothelial nitric oxide synthase activity retards the progression of diabetic nephropathy in db/db mice. *Kidney Int.* 2012; 82: 1176-83.
- 8- You H, Gao T, Cooper TK, Morris SM, Awad AS. Arginase inhibition mediates renal tissue protection in diabetic nephropathy by a nitric oxide synthase 3-dependent mechanism. *Kidney Int.* 2013; 84: 1189-97.
- 9- Hosseinzadeh H, Shamsaie F, Mehri S. Antioxidant activity of aqueous and ethanolic extracts of *Crocus sativus L.* stigma and its bioactive constituents, crocin and safranal. *Pharmacog Mag.* 2009; 15: 419.
- 10- Ordoudi SA, Tsimidou MZ. Measuring antioxidant and prooxidant capacity using the crocin bleaching assay (CBA). *Methods Mol Biol.* 2015; 1208: 329-44.
- 11- Ghadrdoost B, Vafaei AA, Rashidy-Pour A, et al. Protective effects of saffron extract and its active constituent crocin against oxidative stress and spatial learning and memory deficits induced by chronic stress in rats. *Eur J Pharmacol.* 2011; 667: 222-9.
- 12- Altinoz E, Oner Z, Elbe H, Turkoz Y, Cigremis Y. Protective effect of saffron (its active constituent, crocin) on oxidative stress and hepatic injury in streptozotocin induced diabetic rats. *Hum Exp Toxicol.* 2014; 16: 160-71.
- 13- Papandreou MA, Kanakis CD, Polissiou MG, et al. Inhibitory activity on amyloid- β aggregation and antioxidant properties of *Crocus sativus* stigmas extract and its crocin constituents. *J Agric Food Chem.* 2006; 54: 8762-8.
- 14- Naghizadeh B, Boroushaki MT, Vahdati Mashhadian N, Mansouri SMT. Protective effects of crocin against cisplatin-induced acute renal failure and oxidative stress in rats. *Iran Biomed J.* 2008; 12: 93-100.
- 15- Jahanbakhsh Z, Rasoulian B, Jafari M, et al. Protective effect of crocin against reperfusion-induced cardiac arrhythmias in anesthetized rats. *EXCLI.* 2012; 11: 20-29.
- 16- Zheng Y-Q, Liu J-X, Wang J-N, Xu L. Effects of crocin on reperfusion-induced oxidative/nitrative injury to cerebral microvessels after global cerebral ischemia. *Brain Res.* 2007; 1138: 86-94.

- 17- Hosseinzadeh H, Modaghegh MH, Saffari Z. *Crocus sativus L.*(Saffron) extract and its active constituents (crocin and safranal) on ischemia-reperfusion in rat skeletal muscle. *Evid Based Complement Alternat Med.* 2009; 6: 343-50.
- 18- Karamouzis I, Sarafidis PA, Karamouzis M, et al. Increase in oxidative stress but not in antioxidant capacity with advancing stages of chronic kidney disease. *Am J Nephrol.* 2008; 28: 397-404.
- 19- Onozato ML, Tojo A, Goto A, Fujita T, Wilcox CS. Oxidative stress and nitric oxide synthase in rat diabetic nephropathy: effects of ACEI and ARB. *Kidney Int.* 2002; 61: 186-94.
- 20- Riahi S, Mohammadi MT, Sobhani V, Ababzadeh S. Chronic aerobic exercise decreases lectin-like low density lipoprotein (LOX-1) receptor expression in heart of diabetic rat. *Iran Biomed J.* 2016; 20: 26-32.
- 21- Kei S. Serum lipid peroxide in cerebrovascular disorders determined by a new colorimetric method. *Clinica Chimica Acta.* 1978; 90: 37-43.
- 22- Riahi S, Mohammadi MT, Sobhani V, Soleimany M. Chronic effects of aerobic exercise on gene expression of LOX-1 receptor in the heart of rats fed with high fat diet. *Iran J Basic Med Sci.* 2015; 18: 805-12.
- 23- Bradford MM. A rapid and sensitive method for the quantitation of microgram quantities of protein utilizing the principle of protein-dye binding. *Anal Biochem.* 1976; 72: 248-54.
- 24- Kianbakht S, Hajiaghaei R. Anti-hyperglycemic effects of saffron and its active constituents, crocin and safranal, in alloxan-induced diabetic rats. *J Med Plants.* 2011; 3: 82-9.
- 25- Shirali S, Zahra Bathaie S, Nakhjavani M. Effect of crocin on the insulin resistance and lipid profile of streptozotocin-induced diabetic rats. *Phytother Res.* 2013; 27: 1042-7.
- 26- Mohajeri D, Mousavi G, Doustar Y. Antihyperglycemic and pancreas-protective effects of *Crocus sativus L.*(Saffron) stigma ethanolic extract on rats with alloxan-induced diabetes. *J Biol Sci.* 2009; 9: 302-10.
- 27- Pavkov ME, Knowler WC, Hanson RL, et al. Comparison of serum cystatin C, serum creatinine, measured GFR, and estimated GFR to assess the risk of kidney failure in American Indians with diabetic nephropathy. *Am J Kidney Dis.* 2013; 62: 33-41.
- 28- Hwang I, Lee J, Huh JY, et al. Catalase deficiency accelerates diabetic renal injury through peroxisomal dysfunction. *Diabetes.* 2012; 61: 728-38.
- 29- Call JA, Chain KH, Martin KS, et al. Enhanced skeletal muscle expression of extracellular superoxide dismutase mitigates streptozotocin-induced diabetic cardiomyopathy by reducing oxidative stress and aberrant cell signaling. *Circ Heart Fail.* 2015; 8: 188-97.
- 30- Rosa AP, Jacques CE, de Souza LO, et al. Neonatal hyperglycemia induces oxidative stress in the rat brain: the role of pentose phosphate pathway enzymes and NADPH

- oxidase. *Mol Cell Biochem.* 2015; 403: 159-67.
- 31- Pham TQ, Cormier F, Farnworth E, Tong VH, Van Calsteren M-R. Antioxidant properties of crocin from *Gardenia jasminoides Ellis* and study of the reactions of crocin with linoleic acid and crocin with oxygen. *J Agric Food Chem.* 2000; 48: 1455-61.
- 32- Ochiai T, Ohno S, Soeda S, Tanaka H, Shoyama Y, Shimeno H. Crocin prevents the death of rat pheochromocytoma (PC-12) cells by its antioxidant effects stronger than those of α-tocopherol. *Neurosci Lett.* 2004; 362: 61-4.
- 33- Asdaq SMB, Inamdar MN. Potential of *Crocus sativus* (saffron) and its constituent, crocin, as hypolipidemic and antioxidant in rats. *Appl Biochem Biotechnol.* 2010; 162: 358-72.
- 34- Williams SB, Cusco JA, Roddy M-A, Johnstone MT, Creager MA. Impaired nitric oxide-mediated vasodilation in patients with non-insulin-dependent diabetes mellitus. *J Am Coll Cardiol.* 1996; 27: 567-74.
- 35- Thum T, Fraccarollo D, Schultheiss M, et al. Endothelial nitric oxide synthase uncoupling impairs endothelial progenitor cell mobilization and function in diabetes. *Diabetes.* 2007; 56: 666-74.

Protective Effect of Crocin on Kidney Performance in Chronic Uncontrolled Hyperglycemia-Induced Nephropathy in Rat

Yaribeygi H¹, Mohammadi MT¹

¹Dept. of Physiology and Biophysics, Faculty of Medicine, Baqiyatallah University of Medical Sciences, Tehran, Iran

Corresponding Author: Mohammadi MT, Dept. of Physiology and Biophysics, Faculty of Medicine, Baqiyatallah University of Medical Sciences, Tehran, Iran

E-mail: Mohammadi.mohammadt@yahoo.com

Received: 30 Dec 2015 **Accepted:** 22 Aug 2016

Background and Objective: Based on previous studies, inflammation and oxidative stress play a crucial role in the pathophysiology of diabetic nephropathy. Therefore, we aimed to examine the protective effects of crocin, as a potent anti-inflammatory and antioxidant, on kidney function and oxidative stress in an experimental model of diabetic nephropathy in male wistar rats.

Materials and Methods: In this experimental study, male wistar rats (190-220 g) were randomly divided into four groups (each n=6); normal, normal treatment, diabetic, diabetic treatment. The rats were made diabetic by an intravenous injection of streptozotocin (40 mg/kg). Treated rats received crocin intraperitoneally with a dose of 40 mg/kg/day for eight weeks. Blood samples were collected for measurement of blood glucose and creatinine levels. The Malondialdehyde (MDA) and nitrate contents of kidney also were assessed.

Results: Chronic hyperglycemia (blood glucose >400 mg/dL) significantly increased the blood creatinine of the diabetic group (4.51 ± 0.45 mg/dL) compared with normal rats (0.72 ± 0.09 mg/dL, $P < 0.001$). Hyperglycemia also decreased the nitrate content (37%) accompanied by an increase in the MDA content (13.00 ± 0.19 μ g/mg protein) compared with normal group (10.22 ± 0.54 μ g/mg protein). Crocin significantly decreased the blood creatinine of diabetic rats (1.12 ± 0.13 mg/dL, $P < 0.001$), accompanied by a decrease in blood glucose (9%). Finally, the content of MDA significantly decreased by 29% in diabetic treated rats compare to diabetic untreated rats ($P < 0.001$).

Conclusion: Based on the findings of the present study, it is appeared that crocin has a role in the prevention of diabetic nephropathy through inhibition of oxidative stress and reducing lipid oxidation.

Key words: *Diabetes Mellitus, Crocin, Diabetic Nephropathy, Oxidative Stress, Hyperglycemia*